

# Sinais e Sistemas

## Representação de Sinais periódicos em Séries de *Fourier* – 1ª parte



# Introdução

- Um dos principais objectivos de se analisarem sinais é o de determinar o seu conteúdo de frequências ou a sua largura de banda
- Isto é de extrema importância em diversos campos de aplicação
  - Em telecomunicações, os sinais transmitidos por estações AM são limitados na banda de 535 kHz a 1650 kHz e sinais de estações FM ocupam a banda de frequências entre 88 MHz a 108 MHz

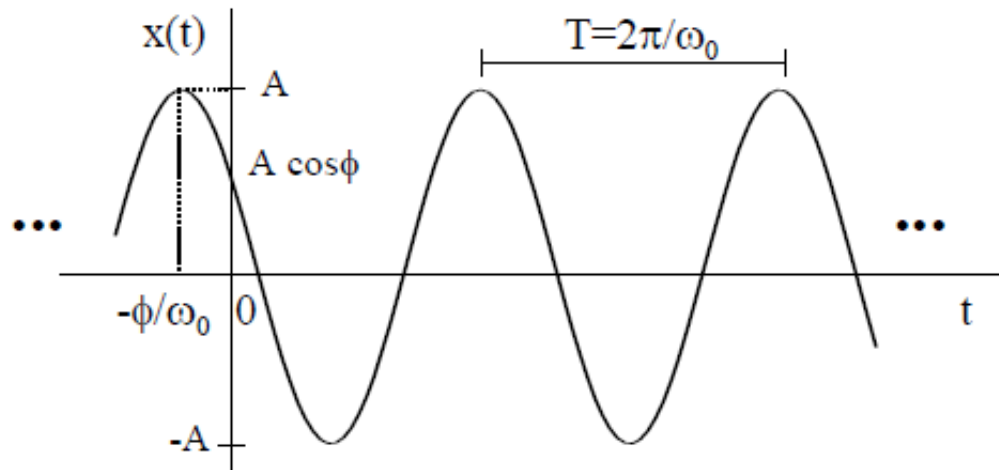
# Introdução

- Jean-Baptiste Joseph Fourier foi um matemático e físico francês
- Ficou célebre por iniciar a investigação sobre a decomposição de funções periódicas em séries trigonométricas convergentes chamadas séries de *Fourier* e a sua aplicação aos problemas da condução do calor



# Conceitos preliminares

- Fasores girantes
  - Se  $x(t)$  for um sinal sinusoidal, então:
    - $x(t) = A \cdot \cos(\omega_0 t + \phi)$
    - $A$  é o valor de pico ou amplitude,  $\omega_0$  é a frequência angular e  $\phi$  é o ângulo de fase



# Conceitos preliminares

- Fasores girantes

- A representação espectral do sinal sinusoidal pode ser obtida em termos de fasores girantes, deduzidos a partir do teorema de Euler:

$$e^{\pm j\theta} = \cos\theta \pm j.\sin\theta$$

- Onde  $\phi$  é um ângulo arbitrário. Por outro lado:

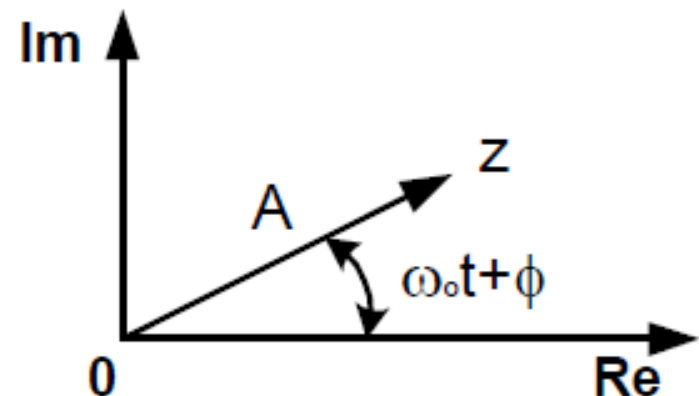
$$A.\cos(\omega_0 t + \phi) = \text{Re} [A.e^{j\phi}.e^{j\omega_0 t}]$$

- O termo entre [ ] pode ser interpretado como um vetor girando no plano complexo,  $z$
- Assim, define-se o fasor girante associado a  $v(t)$  como sendo o número complexo (na forma polar)

# Conceitos preliminares

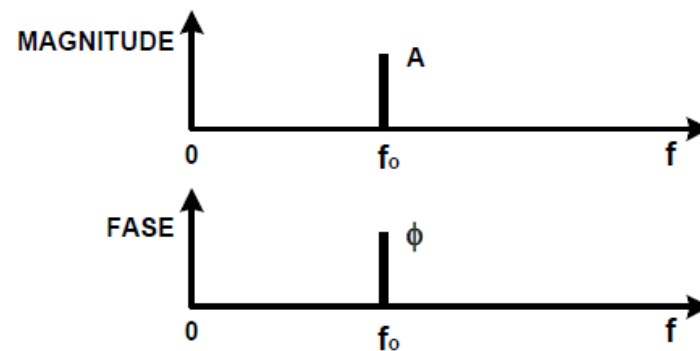
- Fasores girantes
  - O fasor girante tem magnitude  $A$ , gira no sentido anti-horário numa taxa de  $f_0$  ciclos por segundo (ou Hertz) e em  $t = 0$  forma um ângulo  $\phi$  com o eixo real positivo. A projeção do fasor sobre o eixo real permite recuperar  $x(t)$

$$z = z(t) = A.e^{j\phi}.e^{j\omega_0 t}$$



# Conceitos preliminares

- Fasores girantes
  - Uma representação equivalente para o fasor complexo  $z(t)$ , no domínio da frequência, consiste no espectro unilateral



- Este diagrama mostra que na frequência de oscilação  $f_0$ , o fasor girante tem a amplitude  $A$ , representado através de uma linha no espectro de amplitudes, e fase  $\phi$ , representado por uma linha no espectro de fases

# Conceitos preliminares

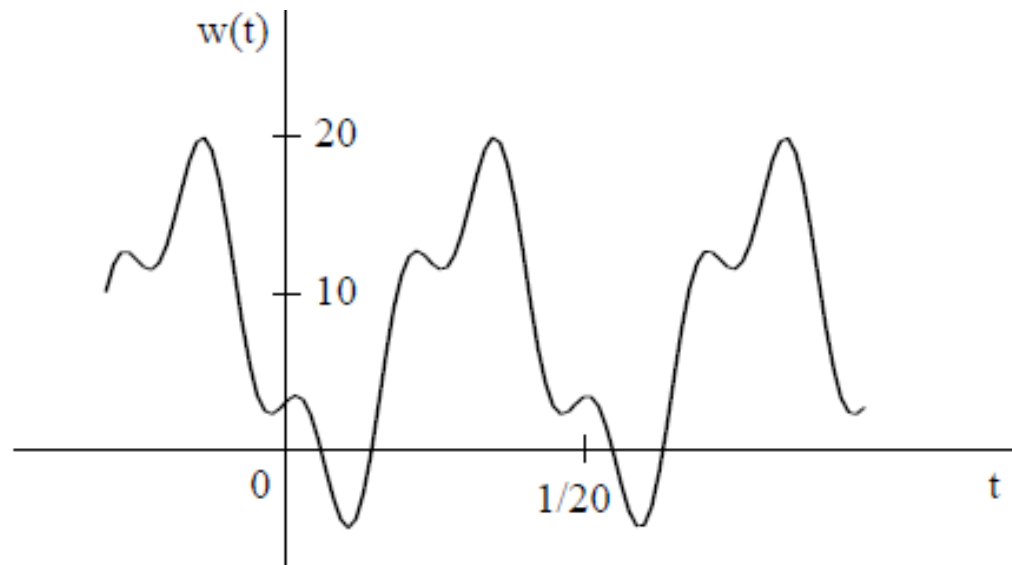
- Fasores girantes
  - A fim de padronizar a representação espectral dos sinais, torna-se adequado estabelecer as seguintes convenções:
    - A variável independente que representa o espectro é a frequência linear  $f$  (não a frequência angular  $\omega$ ). Um valor particular de  $f$  é identificado por um subscrito -  $f_0$
    - Os ângulos de fase são medidos em relação à função cosseno. Sinais em seno precisam ser convertidos para cossenos, através da identidade:  $\sin \phi = \cos(\phi - 90^\circ)$
    - Considera-se que a amplitude é sempre uma grandeza positiva. Quando sinais negativos estão presentes, utiliza-se a identidade:  $-A \cos \phi = A \cos(\phi \pm 180^\circ)$





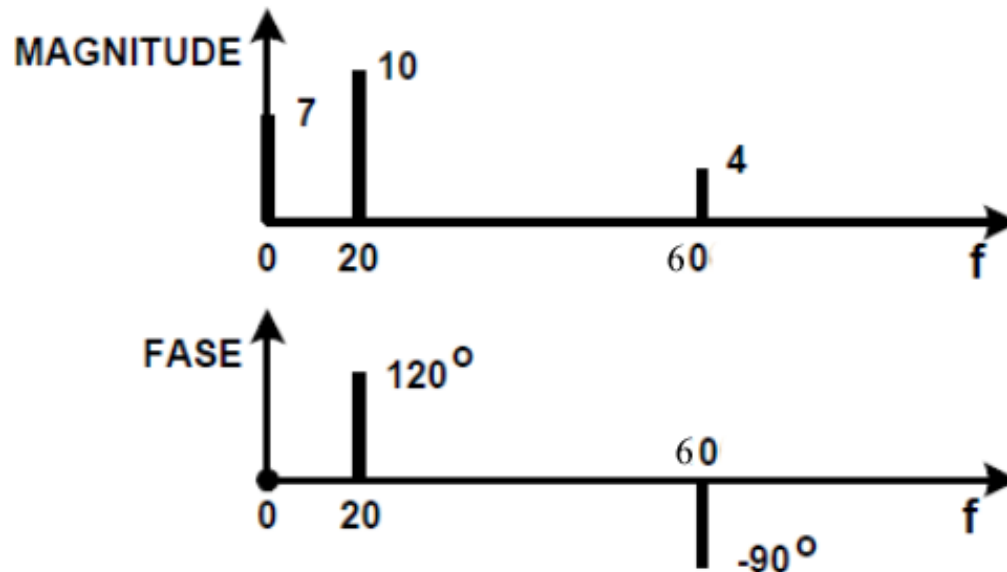
# Conceitos preliminares

- Fasores girantes (Exemplo)
  - Esboçar o espectro unilateral do sinal
    - $w(t) = 7 - 10.\cos(40\pi t - 60^\circ) + 4.\text{sen}(120\pi t)$



# Conceitos preliminares

- Fasores girantes (Exemplo)
  - Solução: O espectro unilateral de  $\omega(t)$  pode ser obtido observando-se que:
    - $\omega(t) = 7.\cos(2\pi 0t) + 10.\cos(2\pi 20t + 120^\circ) + 4.\cos(2\pi 60t - 90^\circ)$



# Conceitos preliminares

- Fasores girantes
  - O exemplo anterior evidencia que:
    - A sobreposição de sinusóides com diferentes frequências e fases pode dar origem a uma forma de onda não-sinosoidal, embora ainda periódica
  - Outra forma de onda arbitrária (porém periódica) como um dente-de-serra, por exemplo, poderá ser sintetizada a partir da sobreposição de sinusóides?
  - Mais à frente iremos confirmar este conceito através do estudo da série de *Fourier*



# Conceitos preliminares

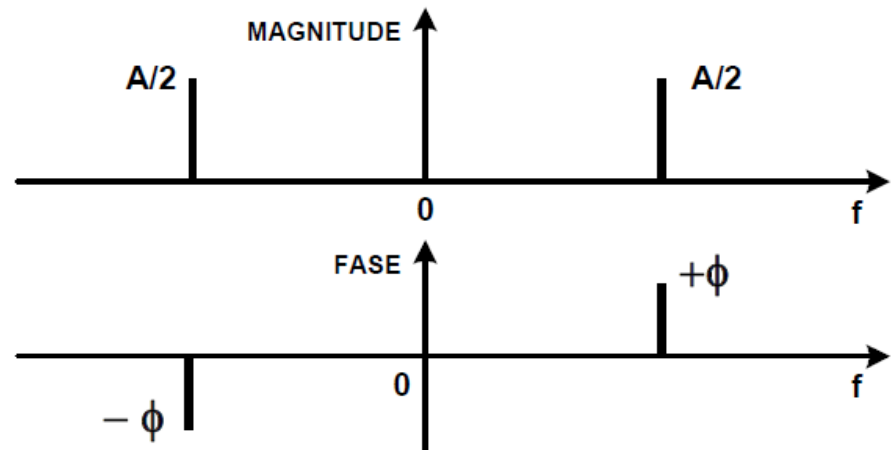
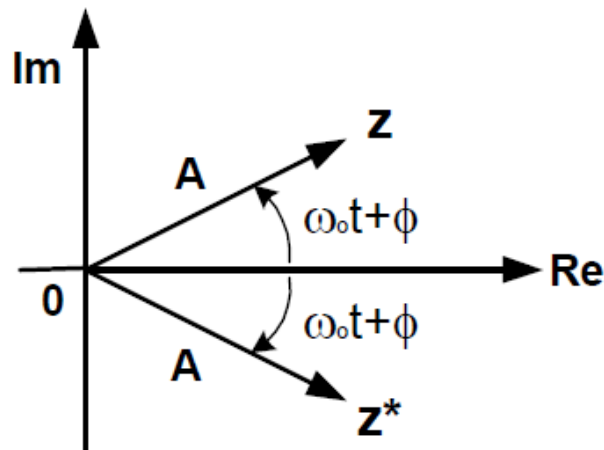
- Fasores girantes (Espectro bilateral)
  - As representações espectrais unilaterais podem não ser tão genéricas em relação à representação denominada de espectro bilateral, que envolve frequências positivas e negativas
  - Usando a propriedade dos números complexos:

$$\text{Re}[z] = \frac{1}{2}(z + z^*)$$

$$x(t) = A \cdot \cos(\omega_0 t + \phi) = \frac{A}{2} e^{j\phi} e^{j\omega_0 t} + \frac{A}{2} e^{-j\phi} e^{-j\omega_0 t}$$

# Conceitos preliminares

- Fasores girantes (Espectro bilateral)
  - O par de fasores conjugados, desenhado no plano complexo, e o espectro bilateral:

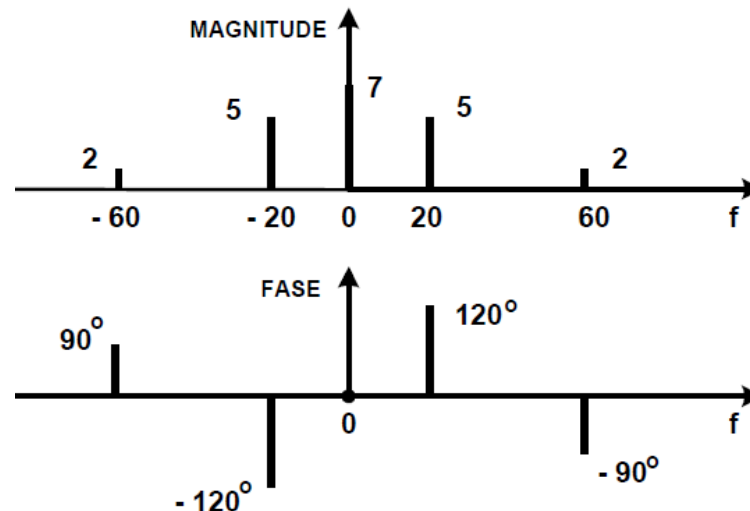


- o espectro de magnitudes possui simetria par, enquanto o espectro de fases tem simetria ímpar

# Conceitos preliminares

- Fasores girantes (Exemplo)
  - Esboçar o espectro bilateral do exemplo anterior
  - **Solução:** O sinal  $w(t)$  pode ser rescrito como:

$$w(t) = 7e^{j0} + 10 \frac{e^{j120^\circ} e^{j2\pi 20t} + e^{-j120^\circ} e^{-j2\pi 20t}}{2} + 4 \frac{e^{-j90^\circ} e^{j2\pi 60t} + e^{j90^\circ} e^{-j2\pi 60t}}{2}$$



# Conceitos preliminares

- Produto Escalar – Semelhança entre Sinais
  - Didaticamente, a analogia com o comportamento de vetores no espaço físico pode ser bastante útil na análise de sinais variáveis no tempo
  - Considerar dois vetores  $\vec{V}_1$  e  $\vec{V}_2$  e seja  $\vec{V}_e$  um vector de erro tal que:

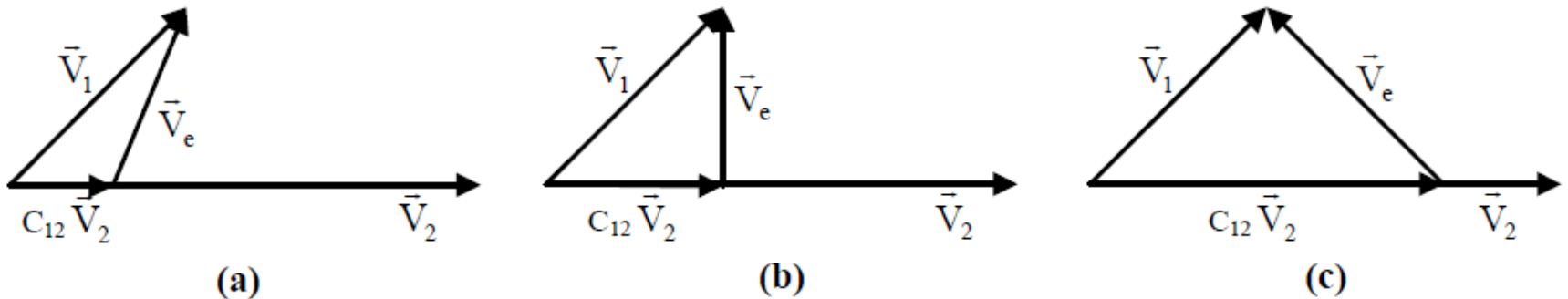
$$\vec{V}_1 = C_{12} \vec{V}_2 + \vec{V}_e$$

- Onde  $C_{12}$  é uma constante com valor entre 0 e 1



# Conceitos preliminares

- Produto Escalar – Semelhança entre Sinais



- o menor valor do vetor de erro ocorre no caso **(b)**, quando  $C_{12}\vec{V}_2$  corresponde à projeção ortogonal de  $\vec{V}_1$  na direção de  $\vec{V}_2$
- Costuma dizer-se que  $C_{12}\vec{V}_2$  corresponde à componente de  $\vec{V}_1$  na direção de  $\vec{V}_2$



# Conceitos preliminares

- Produto Escalar – Semelhança entre Sinais
  - Em situações de projeção ortogonal, como no caso anterior, observa-se que quanto maior a componente de um vetor na direção do outro, mais “semelhante” serão esses vetores e menor será o vetor de erro
  - $C_{12}$  pode ser interpretado como uma medida da “semelhança” entre  $\vec{V}_1$  e  $\vec{V}_2$
  - Se  $C_{12} = 0$ , então,  $\vec{V}_1$  não tem componente na direção de  $\vec{V}_2$  sendo os vetores perpendiculares entre si - vetores ortogonais
    - Neste caso, não existe qualquer relação de dependência entre os vetores - vetores independentes.



# Conceitos preliminares

- Produto Escalar – Semelhança entre Sinais
  - Recorrendo à álgebra vetorial, pode especificar-se o fator constante  $C_{12}$  aplicando-se a definição de produto escalar:

$$C_{12} = \frac{\vec{V}_1 \cdot \vec{V}_2}{\|\vec{V}_2\|^2}$$

- $C_{12}$  é o único número real tal que  $\vec{V}_e = \vec{V}_1 - C_{12}\vec{V}_2$  é ortogonal a  $\vec{V}_2$
- se  $\vec{V}_1$  e  $\vec{V}_2$  são ortogonais, então  $\vec{V}_1 \cdot \vec{V}_2 = 0$  e  $C_{12} = 0$
- $C_{12}$  é chamado o coeficiente de *Fourier*



# Conceitos preliminares

- Semelhança entre Sinais
  - Consideram-se agora  $f_1(t)$  e  $f_2(t)$  dois sinais sobre os quais se deseja estabelecer o grau de similaridade (ou semelhança) através de um fator  $C_{12}$ , ou seja, pretende-se estabelecer a aproximação:

$$f_1(t) \cong C_{12} \cdot f_2(t)$$

- Para isso,  $C_{12}$  deve ser tal que minimize a função erro  $f_e(t)$ :

$$f_e(t) = f_1(t) - C_{12} \cdot f_2(t)$$



# Conceitos preliminares

- Semelhança entre Sinais

- Um critério bastante usado para minimizar  $f_e(t)$  consiste em minimizar o erro quadrático médio  $\epsilon$  ou seja:

$$\epsilon = \frac{1}{t_2 - t_1} \int_{t_1}^{t_2} f_e^2(t).dt$$

- onde  $(t_2 - t_1)$  é um intervalo de observação dentro do qual se deseja efetuar a comparação dos sinais
- Assim, torna-se necessário determinar qual o valor de  $C_{12}$  que satisfaça a condição:  $\frac{d\epsilon}{dC_{12}} = 0$

# Conceitos preliminares

- Semelhança entre Sinais

- Fazendo a substituição fica:

$$\frac{1}{t_2 - t_1} \left[ \int_{t_1}^{t_2} \frac{df_1^2(t)}{dC_{12}} \cdot dt - 2 \int_{t_1}^{t_2} f_1(t) f_2(t) \cdot dt + 2C_{12} \int_{t_1}^{t_2} f_2^2(t) \cdot dt \right] = 0$$

- Como  $f_1(t)$  não depende de  $C_{12}$ , o primeiro integral é nulo e, portanto, obtém-se que:

$$C_{12} = \frac{\int_{t_1}^{t_2} f_1(t) \cdot f_2(t) dt}{\int_{t_1}^{t_2} f_2^2(t) dt}$$

# Conceitos preliminares

- Semelhança entre Sinais
  - Observa-se a semelhança entre as expressões para sinais e para vetores

$$C_{12} = \frac{\vec{V}_1 \cdot \vec{V}_2}{\|\vec{V}_2\|^2} \quad C_{12} = \frac{\int_{t_1}^{t_2} f_1(t) \cdot f_2(t) dt}{\int_{t_1}^{t_2} f_2^2(t) dt}$$

- Usando a analogia com vetores,  $C_{12}f_2(t)$  representa a componente de  $f_1(t)$  sobre o sinal  $f_2(t)$

# Conceitos preliminares

- Semelhança entre Sinais
  - Define-se o produto escalar entre as funções:  
 $\langle f_1(t).f_2(t) \rangle$  num intervalo  $(t_1, t_2)$  por:

$$\langle f_1(t).f_2(t) \rangle = \frac{1}{t_2 - t_1} \int_{t_1}^{t_2} f_1(t).f_2(t).dt, \quad t_1 \leq t \leq t_2$$

- Deste modo:

$$C_{12} = \frac{\int_{t_1}^{t_2} f_1(t).f_2(t)dt}{\int_{t_1}^{t_2} f_2^2(t)dt} \qquad C_{12} = \frac{\langle f_1(t).f_2(t) \rangle}{\langle f_2^2(t) \rangle}$$

- Se  $C_{12}=0$ , o sinal  $f_1(t)$  não contém nenhuma componente do sinal  $f_2(t)$  - as funções são ortogonais no intervalo  $(t_1, t_2)$

# Conceitos preliminares

- Exercício:
  - Mostrar que  $f_1(t) = \sin(n\omega_0 t)$  e  $f_2(t) = \sin(m\omega_0 t)$  são ortogonais em qualquer intervalo  $(t_0, t_0 + 2\pi/\omega_0)$ , para valores de  $m$  e  $n$  inteiros,  $m \neq n$

- **Solução:** Deve ser mostrado que:

$$I = \langle f_1(t).f_2(t) \rangle = \frac{1}{2\pi/\omega_0} \int_{t_0}^{t_0 + 2\pi/\omega_0} \sin(n\omega_0 t). \sin(m\omega_0 t). dt$$

- é igual a zero



# Conceitos preliminares

- Exercício (cont.):
  - Desenvolvendo a expressão anterior fica:

$$\begin{aligned} I &= \frac{1}{2\pi/\omega_0} \int_{t_0}^{t_0+2\pi/\omega_0} \frac{1}{2} [\cos(n-m)\omega_0 t - \cos(n+m)\omega_0 t] dt \\ &= \frac{1}{4\pi} \left[ \frac{1}{n-m} \sin(n-m)\omega_0 t - \frac{1}{n+m} \sin(n+m)\omega_0 t \right]_{t_0}^{t_0+2\pi/\omega_0} \end{aligned}$$

- Uma vez que  $n$  e  $m$  são inteiros,  $(n-m)$  e  $(n+m)$  também o são, e assim,  $I = 0$
- TPC: comprovar isto

# Conceitos preliminares

- Exercício:
  - Aproximar a função retangular  $f_1(t)$  dada por:

$$f_1(t) = \text{rect}\left(\frac{t - \pi/2}{\pi}\right) - \text{rect}\left(\frac{t - 3\pi/2}{\pi}\right)$$

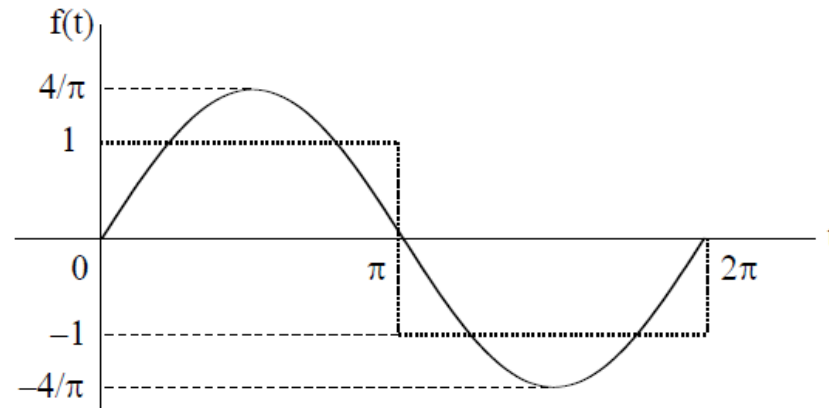
- pela função  $f_2(t)$  dada por:

$$f_2(t) = \sin t$$

- no intervalo  $(0, 2\pi)$ , de forma que o erro quadrático médio seja mínimo

# Conceitos preliminares

- Exercício (cont.):
  - **Solução:** Deseja-se aproximar  $f_1(t) \cong C_{12} \cdot f_2(t)$ , tal que  $C_{12}$  conduza ao erro mínimo

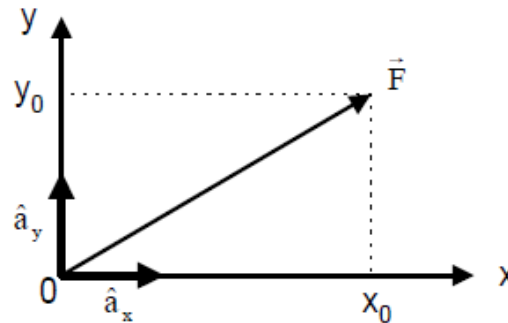


$$C_{12} = \frac{\int_0^{\pi} \sin t \cdot dt + \int_{\pi}^{2\pi} (-1) \sin t \cdot dt}{\int_0^{2\pi} \sin^2(t) \cdot dt} = \frac{4}{\pi}$$

$$f_1(t) \cong \frac{4}{\pi} \sin t, \quad 0 \leq t \leq 2\pi$$

# Conceitos preliminares

- Ortogonalidade de funções reais
  - Considere-se, novamente, o caso dos vetores num plano  $xy$ , e cujos vetores unitários são  $\hat{a}_x$  e  $\hat{a}_y$



- Um vetor  $\vec{F}$ , com componentes  $x_0$  e  $y_0$  nas direções  $x$  e  $y$ , respectivamente, pode ser expresso como:

$$\vec{F} = x_0 \hat{a}_x + y_0 \hat{a}_y$$

# Conceitos preliminares

- Ortogonalidade de funções reais
  - Qualquer vetor nesse plano pode ser expresso em termos de  $\hat{a}_x$  e  $\hat{a}_y$ , vetores unitários que satisfazem:

$$\hat{a}_m \cdot \hat{a}_n = \begin{cases} 0, & m \neq n \\ 1, & m = n \end{cases}$$

- $m$  e  $n$  correspondem, respectivamente a  $x$  e  $y$
- Assim, os vetores unitários são ortogonais entre si
- observa-se que este sistema de coordenadas bidimensional é inadequado para expressar um vetor espacial  $\vec{F}$



# Conceitos preliminares

- Ortogonalidade de funções reais
  - Para expressar um vetor  $\vec{F}$  tridimensional é necessário que o sistema de coordenadas seja completo. O eixo adicional é o eixo z, cujo vetor unitário é  $\hat{a}_z$
  - um vetor no espaço tridimensional será representado por:

$$\vec{F} = x_0 \hat{a}_x + y_0 \hat{a}_y + z_0 \hat{a}_z$$

- onde  $\hat{a}_x$ ,  $\hat{a}_y$  e  $\hat{a}_z$  são ortogonais entre si

# Conceitos preliminares

- Ortogonalidade de funções reais
  - No caso  $n$ -dimensional, o conjunto completo de vetores unitários deve possuir “ $n$ ” componentes ortogonais designadas por:  $\hat{a}_1, \hat{a}_2, \dots, \hat{a}_n$
  - um vetor geral  $\vec{F}$  tem componentes  $C_1, C_2, \dots, C_n$ , tais que:
  - $\vec{F} = C_1 \cdot \hat{a}_1 + C_2 \cdot \hat{a}_2 + \dots + C_n \cdot \hat{a}_n$
  - A condição de ortogonalidade implica que:

$$\hat{a}_m \cdot \hat{a}_n = \begin{cases} 0, & m \neq n \\ 1, & m = n \end{cases}$$



# Conceitos preliminares

- Ortogonalidade de funções reais
  - O conjunto  $(\hat{a}_1, \hat{a}_2, \dots, \hat{a}_n)$  constitui um espaço vetorial ortogonal, onde  $\hat{a}_1, \hat{a}_2, \dots, \hat{a}_n$  são vetores de base
  - Em geral, contudo, o produto  $\hat{a}_m \cdot \hat{a}_n$  pode ser qualquer constante  $k_m$  ao invés da unidade
  - Quando  $k_m$  é igual à unidade o conjunto é chamado espaço ortogonal normalizado, ou espaço vetorial ortonormal





# Conceitos preliminares

- Ortogonalidade de funções reais
  - Os valores dos componentes  $C_r$  podem ser obtidos a partir do produto escalar:
  - $\vec{F} \cdot \hat{a}_r = C_1 \cdot \hat{a}_1 \cdot \hat{a}_r + C_2 \cdot \hat{a}_2 \cdot \hat{a}_r + \dots + C_r \cdot \hat{a}_r \cdot \hat{a}_r + \dots$
  - Como:  $\hat{a}_m \cdot \hat{a}_n = 0$ , para  $m \neq n$ , fica:
  - $\vec{F} \cdot \hat{a}_r = C_r \cdot k_r$
  - $C_r = (\vec{F} \cdot \hat{a}_r) / (\hat{a}_r \cdot \hat{a}_r) = (\vec{F} \cdot \hat{a}_r) / k_r$

# Conceitos preliminares

- Ortogonalidade de funções reais
  - Extrapolando os conceitos anteriores para o caso de sinais, consideram-se agora um conjunto de “ $n$ ” funções  $g_1(t)$ ,  $g_2(t)$ , ...,  $g_n(t)$  ortogonais entre si, num intervalo  $t_1$  a  $t_2$ , ou seja:

$$\int_{t_1}^{t_2} g_j(t) \cdot g_k(t) \cdot dt = \begin{cases} 0, & j \neq k \\ k_j, & j = k \end{cases}$$

- Uma função arbitrária  $f(t)$  pode ser aproximada num intervalo  $(t_1, t_2)$  pela combinação linear dessas  $n$  funções ortogonais

# Conceitos preliminares

- Ortogonalidade de funções reais
  - Assim:

$$\begin{aligned} f(t) &\cong C_1 g_1(t) + C_2 g_2(t) + \dots + C_n g_n(t) \\ &\cong \sum_{r=1}^n C_r g_r(t), \quad t_1 \leq t \leq t_2 \end{aligned}$$

- A melhor aproximação corresponde àquela onde  $C_1, C_2, \dots, C_n$  são tais que minimizam o erro quadrático médio de  $f_e(t)$ , tal que:

$$\varepsilon = \frac{1}{t_2 - t_1} \int_{t_1}^{t_2} f_e^2(t) dt \qquad f_e(t) = f(t) - \sum_{r=1}^n C_r g_r(t)$$

# Conceitos preliminares

- Ortogonalidade de funções reais

- Para tal, é necessário impor que:

$$\frac{\partial \varepsilon}{\partial C_1} = \frac{\partial \varepsilon}{\partial C_2} = \dots = \frac{\partial \varepsilon}{\partial C_r} = \dots = \frac{\partial \varepsilon}{\partial C_n} = 0$$

- Procedendo aos cálculos algébricos, é possível mostrar que o erro mínimo acontecerá quando:

$$C_r = \frac{\int_{t_1}^{t_2} f(t) \cdot g_r(t) \cdot dt}{\int_{t_1}^{t_2} g_r^2(t) \cdot dt} = \frac{1}{k_r} \int_{t_1}^{t_2} f(t) \cdot g_r(t) \cdot dt$$

- Novamente, é interessante comparar esta expressão com a sua correspondente vectorial

# Conceitos preliminares

- Ortogonalidade de funções reais
  - Usando a definição de produto escalar, o erro quadrático médio será dado por:

$$\varepsilon = \frac{1}{t_2 - t_1} \left[ \int_{t_1}^{t_2} f^2(t).dt + \sum_{r=1}^n C_r^2 \int_{t_1}^{t_2} g_r^2(t).dt - 2 \sum_{r=1}^n C_r \int_{t_1}^{t_2} f(t).g_r(t).dt \right]$$

$$\varepsilon = \frac{1}{t_2 - t_1} \left[ \int_{t_1}^{t_2} f^2(t).dt + \sum_{r=1}^n C_r^2 k_r^2 - 2 \sum_{r=1}^n C_r^2 k_r \right]$$

$$= \frac{1}{t_2 - t_1} \left[ \int_{t_1}^{t_2} f^2(t).dt - \sum_{r=1}^n C_r^2 k_r \right]$$

# Conceitos preliminares

- Ortogonalidade de funções reais
  - O erro quadrático médio diminui à medida que se aumenta o valor de  $n$ , ou seja, quando  $f(t)$  é aproximada por um número maior de funções ortogonais.
  - No limite, quando  $n \rightarrow \infty$ , o erro tende para zero e  $f(t)$  converge para a soma infinita:

$$f(t) = \sum_{r=1}^{\infty} C_r g_r(t), \quad t_1 \leq t \leq t_2$$

# Conceitos preliminares

- Ortogonalidade de funções reais
  - **Exercício:** Considere-se novamente a função retangular  $f_1(t)$  estudada no exemplo anterior, que foi aproximada por uma única função  $\text{sen}(t)$
  - Discutir como a aproximação melhora quando se usa um número grande de funções ortogonais  $\text{sen}(n\omega_0 t)$  e  $\text{sen}(m\omega_0 t)$ , para  $m$  e  $n$  inteiros

# Conceitos preliminares

- Ortogonalidade de funções reais
  - **Solução:** a função retangular  $f_1(t)$  será aproximada por:

$$f_1(t) = C_1 \text{sen } t + C_2 \text{sen } 2t + \dots + C_n \text{sen } nt, 0 \leq t \leq 2\pi$$

- onde:

$$\begin{aligned} C_r &= \frac{\int_0^{2\pi} f_1(t) \cdot \text{sen } rt \cdot dt}{\int_0^{2\pi} \text{sen}^2 rt \cdot dt} \\ &= \frac{1}{\pi} \left[ \int_0^{\pi} \text{sen } rt \cdot dt - \int_{\pi}^{2\pi} \text{sen } rt \cdot dt \right] \end{aligned}$$



# Conceitos preliminares

- Ortogonalidade de funções reais

- Logo:

$$C_r = \begin{cases} \frac{4}{\pi r}, & r \text{ ímpar} \\ 0, & r \text{ par} \end{cases}$$

- e assim:

$$f_1(t) = \frac{4}{\pi} \left[ \sin t + \frac{1}{3} \sin 3t + \frac{1}{5} \sin 5t + \dots \right], 0 \leq t \leq 2\pi$$

- O erro de aproximação é dado por:

$$\varepsilon = \frac{1}{t_2 - t_1} \left[ \int_{t_1}^{t_2} f_1^2(t) dt - C_1^2 k_1 - C_2^2 k_2 - \dots \right]$$

# Conceitos preliminares

- Ortogonalidade de funções reais
  - Também:

$$t_2 - t_1 = 2\pi \text{ e } \int_0^{2\pi} f_1^2(t).dt = 2\pi. \text{ Também, } k_r = \int_0^{2\pi} f_1^2(t).dt = \int_0^{2\pi} \sin^2 rt(t).dt = \pi.$$

$$\varepsilon_1 = \frac{1}{2\pi} \left[ 2\pi - \left( \frac{4}{\pi} \right)^2 \pi \right] = 0,19$$

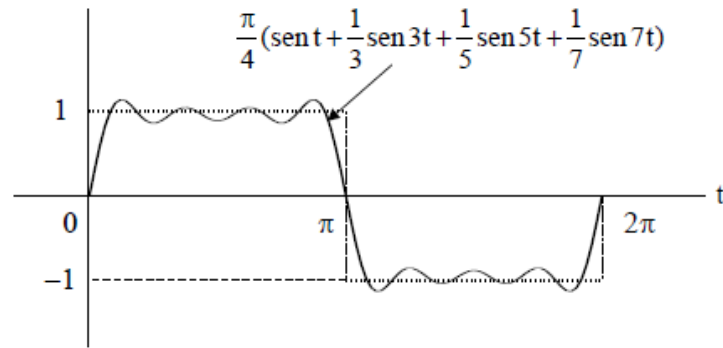
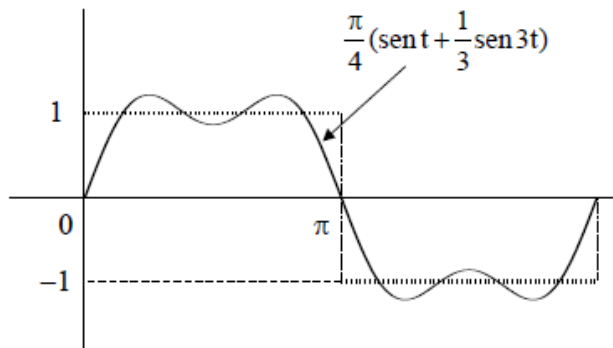
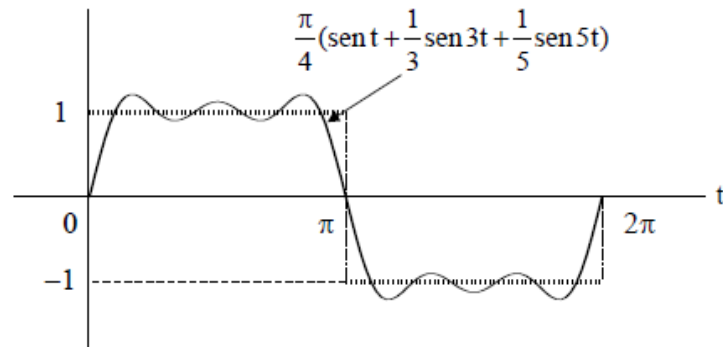
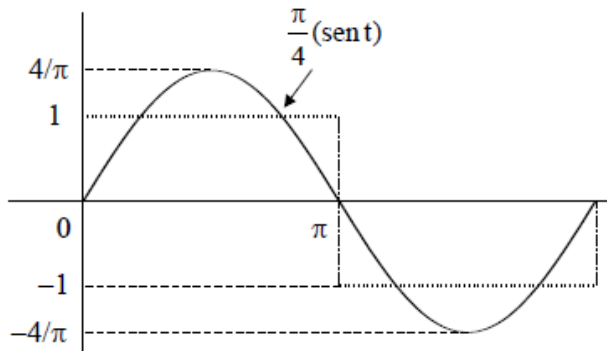
$$\varepsilon_2 = \frac{1}{2\pi} \left[ 2\pi - \left( \frac{4}{\pi} \right)^2 \pi - \left( \frac{4}{3\pi} \right)^2 \pi \right] = 0,1$$

$$\varepsilon_3 = \frac{1}{2\pi} \left[ 2\pi - \left( \frac{4}{\pi} \right)^2 \pi - \left( \frac{4}{3\pi} \right)^2 \pi - \left( \frac{4}{5\pi} \right)^2 \pi \right] = 0,0675$$

$$\varepsilon_4 = \frac{1}{2\pi} \left[ 2\pi - \left( \frac{4}{\pi} \right)^2 \pi - \left( \frac{4}{3\pi} \right)^2 \pi - \left( \frac{4}{5\pi} \right)^2 \pi - \left( \frac{4}{7\pi} \right)^2 \pi \right] = 0,051$$

# Conceitos preliminares

- Ortogonalidade de funções reais



# Conceitos preliminares

- Ortogonalidade de funções complexas
  - Nas exemplos anteriores, consideraram-se apenas funções reais de variável real
  - Se  $f_1(t)$  e  $f_2(t)$  são funções complexas da variável  $t$ , é possível mostrar que  $f_1(t)$  ainda pode ser representada por  $C_{12} \cdot f_2(t)$  no intervalo  $(t_1, t_2)$ :

$$f_1(t) \cong C_{12} \cdot f_2(t)$$

# Conceitos preliminares

- Ortogonalidade de funções complexas
  - No entanto, o valor ótimo de  $C_{12}$  que minimiza o erro quadrático médio é:

$$C_{12} = \frac{\int_{t_1}^{t_2} f_1(t) \cdot f_2^*(t) \cdot dt}{\int_{t_1}^{t_2} f_2(t) \cdot f_2^*(t) \cdot dt}$$

- onde \* indica complexo conjugado. Por outro lado, mostra-se que  $f(t)$  pode ser expressa como:

$$f(t) = C_1 g_1(t) + C_2 g_2(t) + \dots + C_r g_r(t) + \dots$$

# Conceitos preliminares

- Ortogonalidade de funções complexas
  - O conjunto de funções  $g_r(t)$  são um conjunto de funções ortogonais entre si, isto é:

$$\int_{t_1}^{t_2} g_m(t) \cdot g_n^*(t) \cdot dt = \begin{cases} 0, & m \neq n \\ k_n, & m = n \end{cases}$$

- desde que:

$$C_r = \frac{1}{k_r} \int_{t_1}^{t_2} f(t) \cdot g_r^*(t) \cdot dt$$

- de forma a minimizar o erro quadrático médio

# Conceitos preliminares

- Ortogonalidade de funções complexas
  - **Exercício:** Mostrar que as exponenciais complexas  $\Phi_n(t) = e^{jn\omega_0 t}$ , para  $n = 0, \pm 1, \pm 2, \dots$
  - constituem um conjunto de funções ortogonais

# Conceitos preliminares

- Ortogonalidade de funções complexas
  - **Solução:** Para cada valor inteiro de  $n$ , a função  $\Phi_n(t)$  é uma função periódica com frequência angular fundamental  $n\omega_0$  e período  $T_n = 2\pi/n\omega_0$
  - como  $T_0 = 2\pi/\omega_0$  então  $T_0 = n.T_n$  e cada intervalo de duração  $T_0$  contém  $n$  ciclos completos de  $e^{jn\omega_0 t}$



# Conceitos preliminares

- Ortogonalidade de funções complexas
  - O integral:

$$\int_{t_0}^{t_0+T_0} e^{jn\omega_0 t} dt = \int_{t_0}^{t_0+T_0} (\cos n\omega_0 t + j \sin n\omega_0 t) dt = \begin{cases} T_0 & , n = 0 \\ 0 & , n \neq 0 \end{cases}$$

- pois se  $n = 0$ ,  $e^{jn\omega_0 t} = 1$  e o integral equivale ao período de integração  $T_0$
- Com  $n \neq 0$ , o intervalo de integração possui um número de ciclos completos de seno e cosseno, cujo integral se anula

# Conceitos preliminares

- Ortogonalidade de funções complexas
  - Se se tomar o complexo conjugado da função  $e^{jn\omega_0 t}$ , tem-se:

$$\phi_n^*(t) = (e^{jn\omega_0 t})^* = (\cos n\omega_0 t + j\sin n\omega_0 t)^* = (\cos n\omega_0 t - j\sin n\omega_0 t) = e^{-jn\omega_0 t}$$

- Assim, será necessário avaliar o integral:

$$I = \int_{t_0}^{t_0 + 2\pi/\omega_0} (e^{jn\omega_0 t}) \cdot (e^{jm\omega_0 t})^* dt$$

- Se  $n = m$ , resulta:

$$I = \int_{t_0}^{t_0 + 2\pi/\omega_0} dt = \frac{2\pi}{\omega_0}$$

# Conceitos preliminares

- Ortogonalidade de funções complexas
  - Se  $n \neq m$ , resulta:

$$\begin{aligned} I &= \frac{1}{j(n-m)\omega_0} \left[ e^{j(n-m)\omega_0 t} \right]_{t_0}^{t_0 + 2\pi/\omega_0} \\ &= \frac{1}{j(n-m)\omega_0} e^{j(n-m)\omega_0 t} [e^{j2\pi(n-m)} - 1] \end{aligned}$$

- Como  $(n - m)$  é um inteiro, resulta  $I = 0$  e portanto:

$$\int_{\langle T_0 \rangle} \phi_m(t) \phi_n^*(t) dt = \int_{t_0}^{t_0 + T_0} e^{j(m-n)\omega_0 t} dt = \begin{cases} T_0, & m = n \\ 0, & m \neq n \end{cases}$$

- Esta é a propriedade de ortogonalidade do conjunto de exponenciais complexas  $\Phi_n(t)$

# Bibliografia

- Oppenheim, A.V. , Willsky, A.S. and Young, I.T., Signals and Systems, Prentice- Hall Signal Processing Series, 1983

